

В. П. Артемова

О ПРОЧНОСТИ ГНУТОКЛЕЕННЫХ ДЕТАЛЕЙ ИЗ ШПОНА

В последнее время в мебельной промышленности широкое распространение получили элементы и блоки, изготовленные из шпона посредством гнутья с одновременным склеиванием. Вместе с тем, до сих пор производство еще не имеет ни общепринятых способов оценки их качества, ни надежных методов инженерных расчетов. В то же время, при конструировании мебельных изделий из гнutoкленых элементов необходимо учитывать как экономическую и эстетическую стороны, так и надежность в эксплуатации, что связано с расчетами деталей на прочность.

Наиболее обоснованным, на наш взгляд, представляется способ расчета гнutoкленых деталей на прочность, представленный В. Наумчуком [1], в основу которого положена теория изгиба ортотропного бруса с цилиндрической анизотропией, разработанная С. Г. Лехницким. Для определения экстремальных значений им получены следующие формулы:

$$\sigma_r^{(M)} = \frac{M}{r_1^2 b} \gamma_1; \quad \sigma_r^{(P)} = \frac{P \sin(\theta + \varphi)}{r_1^2 b} \gamma_2; \quad (1)$$

$$\sigma_t^{(M)} = \frac{M}{r_1^2 b} \alpha_1; \quad \sigma_t^{(P)} = \frac{P \sin(\theta + \varphi)}{r_1 b} \alpha_2, \quad (2)$$

где γ_1 , γ_2 , α_1 , α_2 — коэффициенты, определяемые по предлагаемым автором таблицам в зависимости от кривизны бруса, характеризующей величиной r_2/r_1 , и от анизотропии материала образца, характеризующей коэффициентами:

$$K = \sqrt{\frac{E_a}{E_r}}; \quad \eta = \sqrt{1 + \frac{E_a}{E_r} (1 - 2\mu_{ra}) + \frac{E_a}{\sigma_{ra}}}. \quad (3)$$

Однако практическое применение формул (1) и (2) введением коэффициентов K и η чрезвычайно затруднено, так как для определения модулей E и μ необходимы громоздкие эксперименты, а использование справочных данных неприемлемо из-за больших расхождений в различных источниках ввиду значительной зави-

симости их величины от технологии прессования, породы древесины, шпона, марки, расхода связующего и т. д.

Эпюры распределения напряжений в гнutoклееном элементе, построение по формулам, полученным на базе теории изгиба ортотропного бруса с цилиндрической анизотропией и на основе теории изгиба изотропного кривого бруса, имеют некоторое качественное отличие [1]. Однако при конструировании и проверочных расчетах деталей на прочность, в первую очередь, представляют интерес наиболее опасные (наибольшие) напряжения.

В процессе эксплуатации гнutoклееные детали, как правило, подвергаются разгибу (сгибу). При этом наибольшие нормальные тангенциальные напряжения возникают на вогнутой (выпуклой) поверхности элемента, где влияние анизотропии шпона (из-за небольшой ширины деталей) не сказывается, и количественные данные, полученные по формулам, не учитывающим анизотропные свойства древесины, хорошо согласуются с экспериментальными (табл. 1). Поэтому в основу полученных нами расчетных соотношений положено решение [2], выполненное методом теории упругости. Так как в общем случае нагрузка, под воздействием которой находится гнutoклееный элемент в процессе эксплуатации, может быть представлена в виде силы и момента, а возникающие при этом напряжения — в виде суммы двух частных решений:

$$\begin{aligned}\sigma_r &= (\sigma_r)_M + (\sigma_r)_P; \\ \sigma_t &= (\sigma_t)_M + (\sigma_t)_P; \\ \tau &= (\tau)_M + (\tau)_P,\end{aligned}\tag{4}$$

то, согласно [2]

$$\begin{aligned}\sigma_r &= \pm \frac{4M}{N} \left(\frac{r_1^2 \cdot r_2^2}{r^2} \ln \frac{r_2}{r_1} + r_2^2 \ln \frac{r}{r_2} + r_1^2 \ln \frac{r_1}{r} \right) + \\ &+ 2\alpha \sin \varphi \left(r - \frac{r_1^2 + r_2^2}{r} + \frac{r_1^2 \cdot r_2^2}{r^3} \right); \\ \sigma_t &= \pm \frac{4M}{N} \left(-\frac{r_1^2 r_2^2}{r^2} \ln \frac{r_2}{r_1} - r_2^2 \ln \frac{r_2}{r} - r_1^2 \ln \frac{r}{r_1} - r_1^2 + r_2^2 \right) + \\ &+ 2\alpha \sin \varphi \left(3r - \frac{r_1^2 + r_2^2}{r} - \frac{r_1^2 r_2^2}{r^3} \right); \\ \tau &= -2\alpha \cos \varphi \left(r - \frac{r_1^2 + r_2^2}{r} + \frac{r_1^2 r_2^2}{r^3} \right),\end{aligned}\tag{5}$$

$$\text{где } N = (r_2^2 - r_1^2)^2 - 4r_1^2 r_2^2 \left(\ln \frac{r_2}{r_1} \right)^2;$$

$$\alpha = \frac{P}{2b \left[r_1^2 - r_2^2 + (r_1^2 + r_2^2) \ln \frac{r_1}{r_2} \right]}.$$

Исходя из того, что максимальные нормальные тангенциальные напряжения при изгибе возникают на вогнутой поверхности элемента (т. е. при $r=r_1$), при сгибе — на выпуклой (т. е. при $r=r_2$), максимальные нормальные радиальные напряжения в обоих случаях — на нейтральной оси (т. е. примерно при $r = \frac{r_1+r_2}{2}$), а касательные напряжения при этом отсутствуют ($\tau=0$), то, обозначив, в отличие от [3] $n=r_2/r_1$, что значительно упрощает (5), получим сравнительно простые соотношения для инженерных расчетов гнутоклееных деталей:

$$\begin{aligned} (\sigma_r)_{\max} &= \frac{M}{r_1^2} f_A(n) + \frac{P}{r_1} f_D(n); \\ (\sigma_t)_{\max} &= \frac{M}{r_1^2} f_B(n) + \frac{P}{r_1} f_E(n); \\ (\sigma_l)_{\max} &= \frac{M}{r_1^2} f_C(n) + \frac{P}{r_1} f_F(n); \\ \tau_{\max} &= \frac{P}{r_1} f_D(n) \cos 90^\circ = 0, \end{aligned} \quad (6)$$

где функции $f_A(n)$, $f_B(n)$, $f_C(n)$ представляют собой первое выражение в скобках из уравнения (5), деленное на N , а функции $f_D(n)$, $f_E(n)$, $f_F(n)$ — второе выражение в скобках, умноженное на α . Уравнение (6) получено при ширине детали, равной 1.

Значения функций $f_A(n) \div f_F(n)$ для $n=1,01 \div 2,5$ через 0,01 были просчитаны на ЭЦВМ Минск-22 и графически представлены на рис. 1.

Правомерность формул (6) была проверена экспериментально, путем сопоставления расчетных и определенных непосредственно с помощью тензометров напряжений (см. табл. 1). Значения статистических величин $n=33$; $M=16,08$; $\pm \delta=3,66$; $22,6 = \pm V$; $m = 0,593$; $\pm P=3,7\%$. Тензометры представляли собой проволочные тензодатчики омического сопротивления типа 2 ПКБ-10-100 ГВ ТУ 25-01-100-68 и 2ПКБ-5-100 ГВ ТУ-25-01-100-68. Предварительно датчики тарировались согласно данным [4]. Длина базы тензометра выбиралась на основе того, что при измерении деформаций, связанных с изгибом стержня, относительная ошибка измерения вследствие влияния кривизны прямо пропорциональна

квадрату базы тензометра (l_1) и кривизне поверхности и обратно пропорциональна толщине стенки. Поэтому, задаваясь допустимым значением ошибки $\Delta\delta/\delta = 0,03$, т. е. 3% (при $r_1^1 = r_1 = 35$ мм, $S = 22$ мм), $l_1 \approx 12$ см. Для измерения деформации база тензодатчика

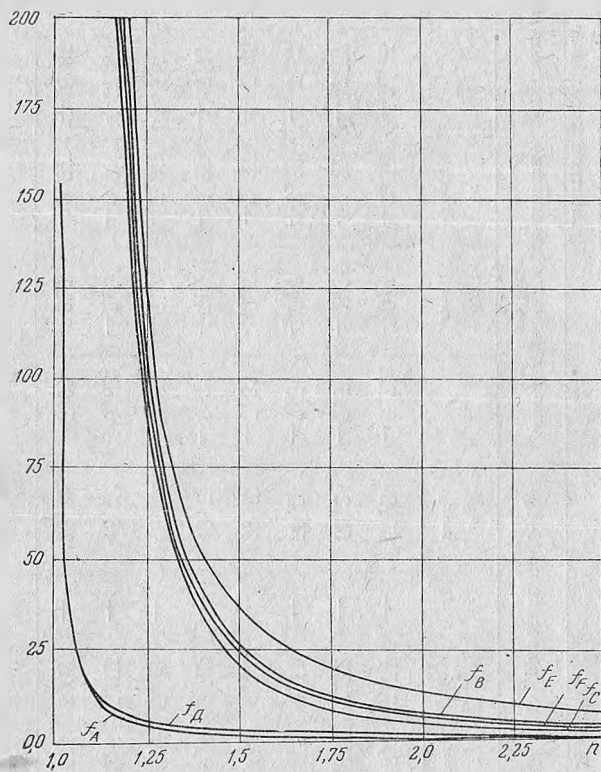


Рис. 1. Графики функций $f_A(n) \div f_F(n)$.

была принята в тангенциальном направлении 10 мм, а в радиальном — 5 мм. Как известно, успешность измерения деформаций с помощью тензодатчиков во многом зависит от качества их наклейки. При выполнении ее соблюдались все рекомендуемые условия.

Датчики наклеивались на образец клеем марки ЦИОКРИН ЭО следующим образом: для измерения деформации в радиальном направлении — на боковые поверхности детали; для измерения деформаций в тангенциальном направлении — на профилльные поверхности.

Деформация измерялась прибором марки ИД-61 М. Результаты проведенных испытаний представлены в табл. 1.

Замечено, что для всех испытанных образцов в процессе нагружения изменение деформации было пропорциональным изменению нагрузки, что характерно для упругих деформаций.

В табл. 1 приведены значения напряжений, рассчитанные по формулам (6) для случая нагружения образцов, соответствующего проводимым испытаниям. Расхождения между экспериментальными и расчетными данными не превышали 10%, что вполне приемлемо для расчетов деталей из древесины.

В табл. 1 представлены также данные расчета напряжений, полученные по формулам (1, 2), т. е. с учетом анизотропных свойств древесины. Как видно, определение максимальных напряжений на базе теории упругости вполне корректно.

Принятые обозначения:

δ — напряжение; σ_r — нормальные радиальные напряжения; σ_t — нормальные тангенциальные напряжения; τ — касательные напряжения; P — нагрузка; M — изгибающий момент; r — текущий радиус; r_1 — внутренний радиус; r_1^1 — радиус после деформации; r_2 — наружный радиус детали; S — толщина детали; v — ширина детали; F — площадь поперечного сечения; l_1 — длина базы датчика; E — модуль упругости; $\Delta\delta/\delta$ — относительная ошибка измерения; f — обозначение функции; ξ — эксцентриситет; n — параметр; φ — угол.

Литература

[1] В. Ф. Наумчик. Исследование прочности гнutoклевeных деталей. Автореф. канд. дисс. М., 1968. [2] X. С. Головин. Одна из задач статики упругого тела. Изв. практ. технолог. ин-та, т. 3, 1880—1881. [3] В. П. Артемова. Об определении нормальных напряжений гнutoклевeных деталей. Мат-лы науч.-техн. конф. по итогам научных работ за 1968 г. Минск, 1969. [4] С. Д. Пономарев, В. Л. Бидерман. Расчет на прочность в машиностроении. Ч. I. М., 1958.